

Ионизационно-тепловая неустойчивость в аккреционных дисках молодых звезд

Фомин С.О., Дудоров А.Е.

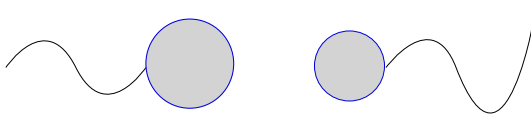
Челябинский государственный университет

САО РАН, 2019

Физический механизм магнитной ионизационно-тепловой неустойчивости (МИТН)

Физический механизм ИТН (Flannery and Press, 1979; Dudorov et al., 2019; Дудоров и Фомин, 2019):

$$t > t_{rec}; \delta Q \propto \Gamma - \Lambda \equiv 0 \text{ в равновесии.}$$



$$\Lambda \propto x^\eta; \delta Q > 0 \quad \delta Q = 0$$

- ▶ При учете магнитного поля возникают другие типы колебаний — быстрые и медленные магнитозвуковые волны (Кадомцев, 1976).
- ▶ Инкременты МИТН меньше инкрементов ИТН (Dudorov and Stepanov, 1999; Dudorov et. al., 2019).

Постановка задачи

Исследовать условия развития МИТН в аккреционных дисках молодых звезд с учетом

- ▶ вмороженного магнитного поля
- ▶ объемного нагрева с модельной функцией $\Gamma \propto \rho$ [эрг см⁻³ с⁻¹]
- ▶ объемного охлаждения с модельной функцией $\Lambda \propto \rho^{\delta+1} T^\zeta x^\eta$ [эрг см⁻³ с⁻¹] (Дудоров и Фомин, 2019)
- ▶ ионизации космическими лучами с постоянной скоростью ξ [с⁻¹] (Spitzer, 1978)
- ▶ лучистых рекомбинаций с коэффициентом $\alpha(T) \propto T^{-\beta}$ [см³ с⁻¹] (Seaton, 1959)

Нагрев и охлаждение аккреционных дисков

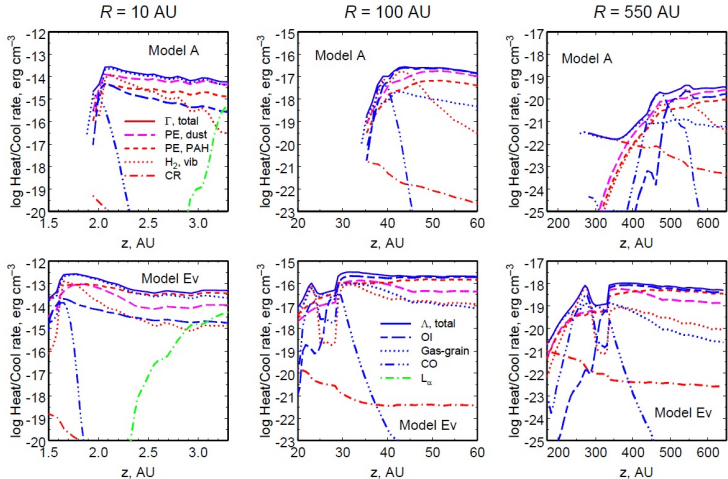


Рис. 1: Зависимость объемного нагрева и охлаждения от высоты диска для расстояний 10, 100, 550 а.е. от звезды с $T_{\text{eff}} = 4000 K$, $M = 0.7M_{\odot}$, $R = 2.64R_{\odot}$, $L \approx 6 \cdot 10^{33}$ эрг с^{-1} , DM Tau диск (Akimkin et al., 2013)

Нагрев и охлаждение аккреционных дисков

- ▶ На краю диска ($z \approx 50$ а.е., $R \approx 100$ а.е.) ближе к областям фотодиссоциации существенным процессом охлаждения является столкновительное возбуждение О I 630 нм (Akimkin et al., 2013):

$$\Lambda_{\text{O I}} = 1.8 \cdot 10^{-24} X_{\text{O}} n^2 e^{-22800/T} \text{ эрг с}^{-1} \text{ см}^{-3}, \quad (1)$$

где X_{O} — обилие нейтрального кислорода. Модельная функция охлаждения запишется в виде $\underline{\Lambda \sim \rho^2 T^\zeta x}$.

- ▶ Нагрев на краю диска ($z \approx 50$ а.е., $R \approx 100$ а.е.) обеспечен фотоэлектрическим нагревом на пыли и ПАУ с линейными размерами ≤ 0.01 мкм (Bakes and Tielens, 1994):

$$\Gamma(\rho, T) = 10^{-24} G_0 \epsilon(T) n \text{ эрг с}^{-1} \text{ см}^{-3}. \quad (2)$$

Модельную функцию нагрева запишем в виде $\underline{\Gamma \sim \rho}$.

Степень ионизации в аккреционных дисках молодых звезд

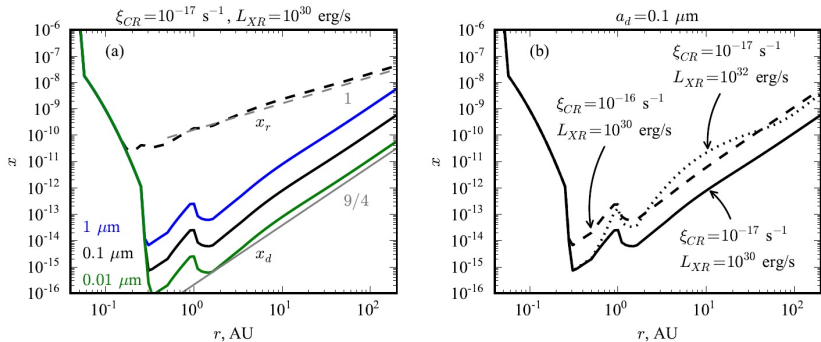


Рис. 2: Зависимость степени ионизации от расстояния до звезды согласно модели Дудорова и Хайбрахманова (2014) для параметров ионизации космическими лучами — ξ_{CR} , светимости звезды — L_{XR} и линейных размеров пыли.

Основные уравнения

$$\frac{\partial \rho}{\partial t} + \nabla \cdot (\rho \mathbf{v}) = 0, \quad (3)$$

$$\frac{\partial \mathbf{v}}{\partial t} + (\mathbf{v} \cdot \nabla) \mathbf{v} = -\frac{\nabla P}{\rho} + \frac{1}{4\pi\rho} (\nabla \times \mathbf{B}) \times \mathbf{B}, \quad (4)$$

$$\frac{\partial \mathbf{B}}{\partial t} = \nabla \times (\mathbf{v} \times \mathbf{B}), \quad (5)$$

$$\frac{1}{\gamma - 1} \left[\frac{\partial P}{\partial t} + (\mathbf{v} \cdot \nabla) P \right] - \frac{\gamma}{\gamma - 1} \frac{P}{\rho} \left[\frac{\partial \rho}{\partial t} + (\mathbf{v} \cdot \nabla) \rho \right] = -\mathcal{L}(\rho, T, x), \quad (6)$$

$$\frac{\partial x}{\partial t} + (\mathbf{v} \cdot \nabla) x = -\mathcal{R}(\rho, T, x), \quad (7)$$

$$P = \frac{k_B}{\mu m_H} \rho T, \quad (8)$$

где ρ — плотность газа, \mathbf{B} — индукция магнитного поля, $\gamma = 7/5$ — показатель адиабаты, $\mathcal{L}(\rho, T, x)$ — чистая функция охлаждения, $x = n_e/n$ — степень ионизации, $\mathcal{R}(\rho, T, x)$ — чистая функция рекомбинации, k_B — постоянная Больцмана, μ — молекулярный вес газа и m_H — масса атома водорода.

Безразмерная система уравнений МГД

Введем следующие безразмерные переменные $\tilde{\rho} = \rho/\rho_0$, $\tilde{T} = T/T_0$, $\tilde{x} = x/x_0$, $\tilde{\mathbf{B}} = \mathbf{B}/B_0$, $\tilde{\mathbf{v}} = \mathbf{v}/c_T$, $\tilde{\mathbf{r}} = \mathbf{r}/(c_T t_{cool})$ и $\tau = t/t_{cool}$ и перепишем систему (3–8) в виде (Дудоров и Фомин, 2019):

$$\frac{\partial \tilde{\rho}}{\partial \tau} + \tilde{\nabla} \cdot (\tilde{\rho} \tilde{\mathbf{v}}) = 0, \quad (9)$$

$$\tilde{\rho} \left[\frac{\partial \tilde{\mathbf{v}}}{\partial \tau} + (\tilde{\mathbf{v}} \cdot \tilde{\nabla}) \tilde{\mathbf{v}} \right] = -\tilde{\nabla} (\tilde{\rho} \tilde{T}) + A (\tilde{\nabla} \times \tilde{\mathbf{B}}) \times \tilde{\mathbf{B}}, \quad (10)$$

$$\frac{\partial \tilde{\mathbf{B}}}{\partial \tau} = \tilde{\nabla} \times (\tilde{\mathbf{v}} \times \tilde{\mathbf{B}}), \quad (11)$$

$$\tilde{\rho} \left[\frac{\partial \tilde{T}}{\partial \tau} + (\tilde{\mathbf{v}} \cdot \tilde{\nabla}) \tilde{T} + (\gamma - 1) \tilde{T} \tilde{\nabla} \cdot \tilde{\mathbf{v}} \right] = -\frac{(\gamma - 1) t_{cool} \mathcal{L}(\rho, T, x)}{\rho_0 c_T^2}, \quad (12)$$

$$\frac{\partial \tilde{x}}{\partial \tau} + (\tilde{\mathbf{v}} \cdot \tilde{\nabla}) \tilde{x} = -\frac{t_{cool} \mathcal{R}(\rho, T, x)}{x_0}, \quad (13)$$

где $\tilde{\nabla} = c_T t_{cool} \nabla$ безразмерный оператор набла в декартовой системе координат и $A = v_A^2/c_T^2$ число Альфвена.

Дисперсионное уравнение

Линеаризуем систему (9-13) и для малых возмущений $f' = f_1 \exp(\sigma\tau + i\mathbf{k} \cdot \tilde{\mathbf{r}})$ в плоскости $(\mathbf{B}_0, \mathbf{k})$ получим

$$a_0\sigma^6 + a_1\sigma^5 + a_2\sigma^4 + a_3\sigma^3 + a_4\sigma^2 + a_5\sigma + a_6 = 0 \quad (14)$$

с коэффициентами

$$a_0 = 1,$$

$$a_1 = \zeta + 2\tau_{c/r} + \tau_{c/i},$$

$$a_2 = (\gamma + A)k^2 + (2\tau_{c/r} + \tau_{c/i})\zeta + \tau_{c/r}\eta\beta,$$

$$a_3 = k^2 [\zeta - \delta + (\gamma + A)(2\tau_{c/r} + \tau_{c/i}) + A\zeta],$$

$$a_4 = k^2 [A\gamma k^2 \cos^2 \theta + (2\tau_{c/r} + \tau_{c/i})(\zeta - \delta + A\zeta) + \tau_{c/r}\eta(1 + \beta + A\beta)],$$

$$a_5 = Ak^4 \cos^2 \theta [\zeta - \delta + (2\tau_{c/r} + \tau_{c/i})\gamma],$$

$$a_6 = Ak^4 \cos^2 \theta [(2\tau_{c/r} + \tau_{c/i})(\zeta - \delta) + \tau_{c/r}\eta(1 + \beta)],$$

где $\tau_{c/r} = t_{cool}/t_{rec}$, $\tau_{c/i} = t_{cool}/t_{ion}$, $k = 2\pi t_{cool}/t_{cross}$, $\theta = \angle(\mathbf{B}_0, \mathbf{k})$.

Функция охлаждения

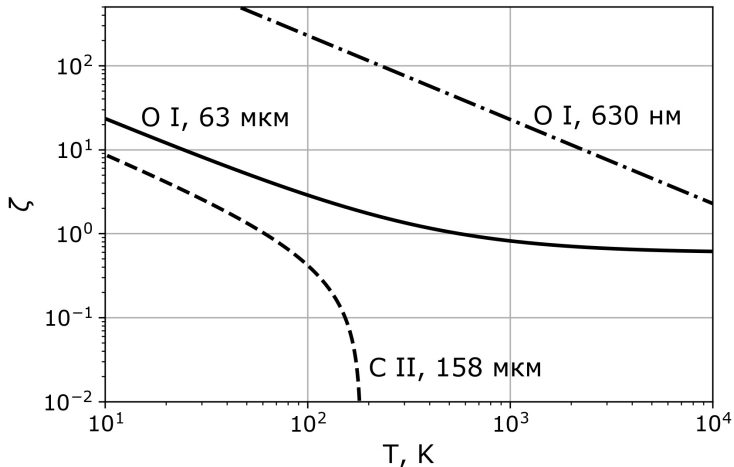


Рис. 3: Значения ζ для функций охлаждения $\Lambda \propto \rho^2 T^\zeta x$ (штриховая и штрих-пунктирная линии) и $\Lambda \propto \rho^2 T^\zeta$ (сплошная линия).

Области неустойчивости

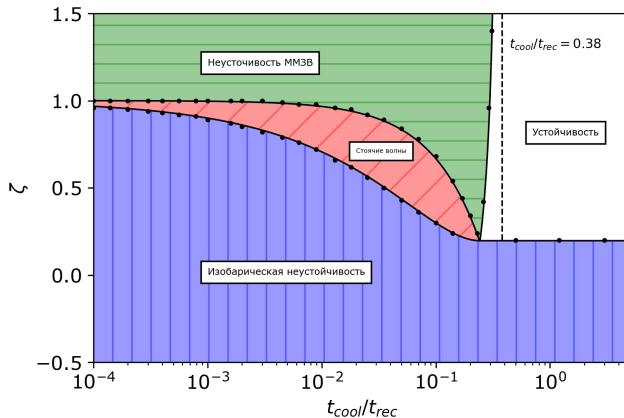


Рис. 4: Черным точкам соответствуют границы неустойчивости из численных решений дисперсионного уравнения (14) для $t_{cool}/t_{ion} = 0$, $\delta = 1$, $\eta = 1$, $\beta = 0.6$, $A = 1$ и $\theta = \pi/4$, а сплошным черным линиям — границам согласно критериям неустойчивости (Дудоров и Фомин, 2019).

Выводы

- ▶ МИТН может проявляться в аккреционных дисках молодых звезд, если функция охлаждения в некоторых областях диска зависит от степени ионизации газа
- ▶ неустойчивые медленные магнитозвуковые волны могут возникать ближе к областям фотодиссоциации в аккреционных дисках молодых звезд, если модельная функция охлаждения $\Lambda \propto \rho^2 T^\zeta x$

Спасибо за внимание!